

# ЧАСТОТЫ ФИЗИЧЕСКОГО ВАКУУМА и ВОЛНОВАЯ ТЕОРИЯ РАКА

М. КУТУШОВ, П. ЗИБЕРТ.

## Аннотация:

Сформулирована КОНЦЕПЦИЯ волновой Теории Рака.

**ТЕГИ: ФРАКТАЛ, АТТРАКТОР, ПРОСТРАНСТВО СОСТОЯНИЙ, ФИЗИЧЕСКИЙ ВАКУУМ, ТОРСИОННОЕ ПОЛЕ, МАЛИГНИЗАЦИЯ, БАРЬЕР НЕПРОЗРАЧНОСТИ, АДИАБАТИЧЕСКИЙ ИНВАРИАНТ, ЭПИФИЗ, ГПК.**

## 1. ВВЕДЕНИЕ. ПОСТАНОВКА ЗАДАЧИ

Цель настоящей работы дать физическую интерпретацию резонансных частот Системы «ЭПИФИЗ + ГПК», которые – как мы знаем - напрямую связаны с развитием злокачественных образований. • Предлагаемая ниже интерпретация базируется на представлении о человеке, как о квантово-механической Системе Автоматического управления (САУ), находящейся в Вакууме и обладающей фрактальной природой.

Организм человека есть, несомненно, ФРАКТАЛ [3]. Законы подобия (геометрические соотношения между разными органами) позволяют получить Оценку частотного Спектра ЭПИФИЗА по Таблице реперных частот ФИЗИЧЕСКОГО Вакуума, ТАБЛ.1. Мы знаем, что мат Ожидание частоты Ритма сердца есть  $f[0]=1.2$  гц. Однако не будем забывать, что  $f[0]$  есть, прежде всего, базовая частота собственных колебаний Т-поля! Пусть показатель прогрессии ряда собственных частот Т-поля Земной коры составляет  $q=20.64$ . Тогда  $f[1]=q \cdot f[0]$ ,  $f[1]=24.77$  гц. Величина  $f[1]$  есть 2-я собственная частота физического Вакуума. По совместительству, ЭТО есть одна из спектра частот ЗМГ колебаний атмосферы Земли, известных как волны Шумана [14]. • Составим теперь линейную комбинацию 2-х собственных частот Т-поля:

$$(1) \quad f[c] = f[1] - 2 \cdot f[0].$$

Непосредственная подстановка  $f[1]$  и  $f[0]$  в (1) дает резонансную частоту Рака:

$$f[c] = 22.37 \text{ [Hz]}.$$

• КОММЕНТАРИЙ: Обращаем внимание, что частота РАКА есть объективная Характеристика Земной Коры. РАК, как Источник Энергии ВАКУУМА, существует независимо от человека! На языке синергетика, РАК есть некая СИСТЕМА космического происхождения, которая взаимодействует с Системой Автоматического Управления через ГИДРО-протеиновый комплекс, сокращение -ГПК. • РАК можно назвать и «АТТРАКТОРОМ» в частотном «Пространстве Вариантов», [8]. Таким образом, САУ постоянно находится перед выбором – к какому из 2-х аттракторов (Жизнь и Смерть) ей следует идти?

Разумеется, ВЫБОР варианта осуществляется Системой (САУ) автоматически, в зависимости от имеющегося у нее – см. ниже - набора квантовых характеристик. • Было бы непростительной ошибкой видеть в РАКЕ одно лишь “ЗЛО”, не замечая его значимости в качестве Источника ЭНЕРГИИ Т-поля, поступающей в наш Организм извне.

Пусть **J** -порядковый номер автоколебаний Т-поля, частота которого измеряется в герцах. Совершая серию последовательных Итераций  $f[J] = q \cdot f[J-1]$ , где  $q=20.64$ , мы получаем Спектр частот, каждая из которых близка одной из собственных частот системы « ЭПИФИЗ + ГПК ». Моду  $f(1)$  мы называем доминантой ЭПИФИЗА.

<b>J</b>	<b>f[J], гц</b>	<b>АНАЛОГИ СОБСТВЕННЫХ ЭМГ кол-й ГПК:</b>
-1	0.0581	РИТМ ДЫХАНИЯ ЗЕМНОЙ КОРЫ, $f[b] = f[-1]$
0	1.2	МАТ Ожидание частоты пульса «здоровяка»
1	24.77	$f\{c\} = f[1] - 2 \cdot f[0]$ ; $f\{C\} = 22.37$ гц - частота Рака!
2	511	2-я Гармоника одного из биол. Ритмов, Физиология, [11]
3	10 551	Частота автоколебаний нейрона
4	217 834	4-я гармоника собственной частоты ГПК
5	4.5•Е6	4-я Гармоника Частоты молекулы Воды

Таблица 1: Собственных частот Т-ПОЛЯ Физического Вакуума.

### РЕПЕРНАЯ ЧАСТОТА «ГПК», как ИНДИКАТОР ЗДОРОВЬЯ.

Показатель Здоровья  $f(H)=24.4$  гц, определяемый средствами мат статистически, в первом приближении есть первая мода Спектра ЗМГ колебаний Земной КОРЫ  $f[1]=24.77$  гц, см. Таблицу 1. Более точным выражением показателя Здоровья будет соотношение (2):

$$(2) \quad f(H) = f[1] - \Delta f,$$

где слагаемое  $\Delta f$  определено формулой (3).

Считается, что – отличное от нуля – постоянное смещение  $\Delta f$  пропорционально частоте, расположенной в 1-й ячейке Таблицы 1 –  $f[b] = f[0]/q$ :

$$(3) \quad \Delta f = 6 \cdot f[b], \text{ где } q=20.64.$$

Подставляя (3) в (2), будем иметь Оценку частоты Здоровья, которая с точностью 0.032 % соответствует данным Математической Статистики:

$$f(H) = 24.42 \text{ гц.}$$

•ПРИМ: Можно предположить, что целочисленный Множитель, стоящий в правой части (3) при частоте  $f[b]=0.0581$  гц, связан с образованием в здоровом Организме кристаллов ГПК средних и низших Сингоний. •ЗДЕСЬ  $J=2$  есть Вторая гармоника ожидаемой Частоты ЗМГ колебаний ГПК, отвечающая за проводимость нервного импульса,  $f(D)=255$  гц.

## АЛГЕБРА РАКА.

### Часть 2

Спрашивается, почему же так близки ДВЕ характерные частоты,  $f[1]$  и  $f[c]$ , одна из которых есть индикатор устойчивого динамического равновесия, другая – ПРИЗНАК неустойчивости? Анализ пространства состояний (пространства конфигураций) САУ показывает, что основной характеристикой последней является комбинационная частота ЭПИФИЗА. • Частота, которая «сбалансирована» колебаниями ГПК таким образом, что т.н. «доминанта» ЭПИФИЗА  $f[1]^*$  равняется собственной частоте Т-поля Земной коры  $f[1]$ . Если же, в начале малигнизации ткани ( $x \rightarrow 0$ ), парамагнитные свойства ткани изменяются [2], то принимающая «АНТЕННА» САУ выходит из резонанса с Т-полем. Лишенная ЭНЕРГЕТИЧЕСКОГО «драйва», СИСТЕМА Автоматического Управления теряет свою устойчивость. И процесс деградации ткани становится не управляемым.

• **Примечание:** Согласно авторской концепции Жизни [1], мерой устойчивости САУ есть индекс ДИС-симметрии  $x$ , который определяет резонансную частоту системы «ЭПИФИЗ + ГПК». Здесь ГПК = аббревиатура от словосочетания «ГИДРО-протеиновый комплекс».

### Выше сказанное можно дополнить алгебраическими соотношениями (2, 3).

Предположим, что резонансные частоты Системы (ЭПИФИЗ + ГПК) представлены спектром частот волновой функции Шредингера [4] вида (2), определяемым тремя квантовыми числами ( $n, m, J$ ), где  $n$  – главное квантовое число,  $m$  - орбитальное число,  $J$  - магнитное КВ. число:

$$(2) \quad f[r] = f[1] - f[0] \bullet (n + m + J).$$

Полагая  $n = m = 1$  и считая отсутствующим собственное магнитное поле ГПК, ( $J=0$ ), мы приходим к соотношению (1), детерминирующему мат ожидание раковой частоты 22.4 гц.

### Часть 3.

Представим соотношение (2) в альтернативной форме, где дискретные квантовые числа аппроксимированы непрерывной ф-й (3) Показателя ДИС-симметрии  $x$ . Произведя замену  $f[r] \rightarrow F(x)$ , для частоты  $F$ , получаем гладкую функцию аргумента, изображенную на РИС.1:

$$(3) \quad F(x) = f[1] - 2 \bullet f[0] \bullet \{1 - \exp[-(x) \bullet (x) / \text{Sig}]\}.$$

Здесь  $\text{Sig} = 0.025$  – Дисперсия случайной величины  $x(t)$  с мат ожиданием ноль.

В ближайшей Окрестности математического ожидания переменной  $x$ , фигурная скобка обращается в ноль. И тогда МАТ ожидание резонансной частоты совпадает с  $f[1]$ . При больших отклонениях  $x$  от нуля, резонансная частота  $F(x)$  становится «раковой»:  $F = f[C]$ .

Итак, Мы имеем ДВА стационарных состояния, которые доступны «САУ» с некоторой долей вероятности. • Однако клинические наблюдения в онкологии показывают, что существует еще и 3-е, промежуточное, состояние равновесия с «тактовой» частотой  $f(p) = 80.5$  гц. Третье СОСТОЯНИЕ равновесия получило, в медицине, жаргонное название «ПРЕДРАК». Полная картина образования Рака, в свете волновой Теории, требует систематизации 3-х характерных частот:  $f[1]$ ,  $f[p]$ ,  $f[C]$ . Иными словами, детализация картины зарождения и прогрессирующего развития раковой патологии, требует физического анализа динамики квантового перехода:

$$f[1] \rightarrow f[C].$$

Схематически, предельный переход от «Здоровья» к «Раку» можно изобразить с помощью функции точечного Отображения  $\psi(i)$ , которая связывает между собой пару соседних нестационарных состояний «САУ», разделенных промежутком времени  $J$  и  $J+1$ :

$$(4) \quad F(i) = \psi(x) \bullet F(i-1).$$

Воспользуемся аналитическим представлением  $F$ , имея в виду, что индекс  $i$  есть обратная функция показателя ДИС-симметрии. И представим процесс образования опухоли функцией, изображенной на РИС.1, которая связывает частоту излучения  $F(i)$  с показателем  $x(i)$ .

Приведенный ниже Рис.1 показывает следующее:

Начальное и конечное значения целевой функции  $F(i)$  близки друг другу по частотам, но обе частоты, как функции КД разнесены - на Шкале  $\{x\}$  - по разные стороны от особой точки  $x=0$ . • ТО есть, в так называемом, «параллельном биофизическом измерении», оба Состояния разительно отличаются одно от другого. Отличаются и формально - математически и биологически!

#### 4. РЕЗЮМЕ:

Показано, что частота РАКА  $f[C]=22.5$  [Hz] есть линейная комбинация 2-х собственных частот Торсионного поля Земной Коры, читай – частот Физического Вакуума. • Построена функция Регрессии, аппроксимирующая зависимость частоты автоколебаний ГПК от показателя ДИС-Симметрии. • Показано, что - находясь в центре событий - ЭПИФИЗ играет основную роль в стабилизации раковой неустойчивости САУ, которая выражает себя явлением малигнизации ткани.

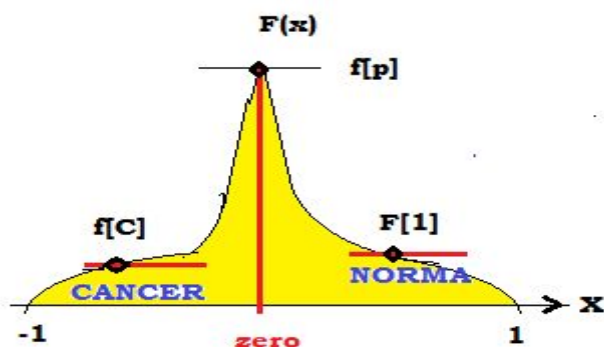
#### • ДОПОЛНЕНИЕ: К ВОЛНОВОЙ ТЕОРИИ РАКА.

- В обобщенных координатах  $(X, Y)$ , РИС.1 напоминает верхнюю половину предельного Цикла Осциллятора Ван-ДЕР Поля с большим значением показателя трения, [5]. Указанное подобие НЕ заслуживало бы особого внимания, если бы не одна деталь. Остроконечный ПИК функции регрессии  $Y(0) = 80.5$  [гц] является, предположительно, точкой трансформации 2-х взаимно пересекающихся ветвей дисперсионной кривой

[13], где **магнит звуковая волна АЛЬФВЕНА** [7], несущая (на себе) разрушительную «ЭНТРОПИЙНУЮ» энергию РАКА, переходит в медленную волну плотности заряда ГПК, порождающую малигнизацию органической ткани.

Справка-примечание: В опытах, проведенных в Инст. Биохимии им. Ак. Богомольца, было установлено, что - непосредственно перед малигнизацией – как правило, наступают *изменения* парамагнитных свойств здоровой ткани, см. [1]. С другой же стороны, указанный выше фазовый переход должен, очевидно, сопровождаться накоплением избыточного отрицательного заряда в органической ткани. (Заряда, именуемого «свободными» радикалами). Получается, что именно энтропийная энергия БМЗ-Волны индуцирует малигнизацию органической ткани. Вот таким представляется нам механизм развития Рака, видимый в свете теории трансформации волны Физического Вакуума. К вопросу трансформации мы вернемся чуть позже.

- Авторская МОДЕЛЬ Рака построена из, различных по «жанру», информационных блоков. ЗДЕСЬ присутствуют -1)Теория трансформации, 2)теория живого фрактала [9], 3)физиология и анатомия, 4)биохимия, 5) Классическая Теория вероятностей, 6) волновая функция, как решение квантово-механического уравнения Шредингера, 7) теория Устойчивости Ляпунова. Плотность Вероятности изображающей частицы, сокращенно - ПВ, положено строить как Решение уравнения Шредингера. Мы же предлагаем заменить точное решение уравнения в частных производных ф-й Регрессии, зависящей от единственной координаты - интегрального показателя ДИС симметрии (3). На РИС.1 представлен График зависимости, учитывающий обращение плотности Вероятности волновой функции  $F(x)$  в ноль на концах интервала  $[-1,+1]$ .



**Fig.1: ЗАВИСИМОСТЬ ЧАСТОТЫ  $F(x)$  от ПОКАЗАТЕЛЯ ДИССИММЕТРИИ,  $x$ .**

●КОММ: Индекс ДИС-симметрии есть адиабатический Инвариант. То есть условно постоянная Величина, которая – однако - изменяется по законам квантовой Механики. Последнее означает, что изображающая точка (САУ) может мгновенно «перепрыгнуть» из состояния «НОРМА» в состояние «РАК» через барьер непрозрачности,  $F(p)$ . В подобных случаях, принято говорить о - так называемом – «туннельном» переходе между двумя состояниями равновесия [6]. Напоминаем, что туннельный переход сопровождается уменьшением анизотропии здоровой ткани и ее раковой симметризацией.

## ДОПОЛНЕНИЕ: О РЕЛИКТОВОМ ИЗЛУЧЕНИИ В САУ

Умножив (2) на постоянную Планка  $h$ , представим последнее в единицах энергии:

$$(5) \quad W = W_0 + \Delta W,$$

Здесь  $W_0 = h \cdot f[1]$  - ЗМГ энергия Вакуума,  $\Delta W = h \cdot \Delta f$  - энергия «дыхания» Земной Коры. Важно заметить, что 2-е Слагаемое суммы (5) отрицательно. То есть, в спектре частот Т-поля, имеет «место быть» волна отрицательной энергии! Последней можно поставить в соответствие т.н. Отрицательное Трение в Системе [14], которое, вероятно, является генератором Потока входящей в САУ Информации. Отрицательное же трение равнозначно появлению в Системе Управления Источника НЕГЭНТРОПИИ [15].

Следует заметить, что наши интуитивные соображения о отрицательной энтропии - не имея достаточной доказательной базы – могут претендовать лишь на звание Рабочей гипотезы. Более понятным и логичным является физико-математический подход к расхождению частоты ЗД-я,  $f[N]$ , и доминанты Эпифиза  $f[1]$ . Дело – в том, что спектральная линия ЗД-я обязана иметь конечную ширину, которая называется дисперсией. (И разностная частота  $f[b]$  имеет, по-видимому, свою дисперсию). Однако НЕ будем забывать о том, что  $\langle f[b] \rangle = 0.06$  гц представляет собою постоянную составляющую некоторого Сигнала с несущей частотой  $f[b]$ . Из соображений симметрии вытекает, что данный «загадочный» Сигнал имеет форму сферической уединенной Волны, идущей к человеку из далеких просторов Вселенной. Нам известно о существовании СВЧ излучения, имеющего место быть в миллиметровом диапазоне, называемого Реликтовым [16]. Принцип же фрактальности САУ, установленный М.Кутушовым и П.Зиббертом, допускает экстраполяцию спектра излучения на волны сантиметрового и метрового диапазона.

Таким образом, разностная частота  $\langle f[b] \rangle$  есть не что иное, как низкочастотная составляющая реликтового Излучения физического Вакуума!

### ЛИТЕРАТУРА:

- [1]. М. Кутушов, авторский сайт: [www.kutushov.ru](http://www.kutushov.ru), 20.08.2018;
- [2]. Парамагнетизм, Википедия: [thesaurus.rusnano.com/wiki/article1463](http://thesaurus.rusnano.com/wiki/article1463), 2018.   
<http://thesaurus.rusnano.com/wiki/article1463>, 2018;
- [3]. ФРАКТАЛ: [https://uk.wikipedia.org/wiki/Фрактальна\\_графіка](https://uk.wikipedia.org/wiki/Фрактальна_графіка), 2018;
- [4]. [https://ru.wikipedia.org/wiki/Волновая\\_функция](https://ru.wikipedia.org/wiki/Волновая_функция), 2018;
- [5]. Википедия: [https://ru.wikipedia.org/wiki/Осциллятор\\_Ван\\_дер\\_Поля](https://ru.wikipedia.org/wiki/Осциллятор_Ван_дер_Поля);
- [6]. Непрозрачность: [https://ru.wikipedia.org/wiki/Туннельный\\_эффект](https://ru.wikipedia.org/wiki/Туннельный_эффект), 2018;

- [7]. [https://ru.wikipedia.org/wiki/Магнитозвуковые\\_волны](https://ru.wikipedia.org/wiki/Магнитозвуковые_волны);
- [8]. Вадим Зеланд, [https://zeland.secretblog.ru/book1-read-online/\\_2013](https://zeland.secretblog.ru/book1-read-online/_2013);
- [9]. П. Зиберт, М.Кутушов, Метод фракталлограмм в индексации здоровья ХС, [https://drive.google.com/file/d/1hDTVve0goXx-1Oc2YbO\\_WwY4JijSZxqO/view?usp=sharing](https://drive.google.com/file/d/1hDTVve0goXx-1Oc2YbO_WwY4JijSZxqO/view?usp=sharing),
- [10]. ВОЛНЫ ДЕ БРОЙЛЯ в ПЕРЕДАЧЕ ИНФОРМАЦИИ от ФИЗ. ВАКУУМА к САУ: <https://drive.google.com/file/d/1xGwXxFCVfFmEKp308ghnY1m1BbrJ3cCW/view?usp=sharing>, архивный файл от 31.08.18
- [11]. Анатомия и физиология человека - Гальперин С.И. - 1974 год - 468 ...  
[med-books.by/.../1828-anatomiya-i-fiziologiya-cheloveka-galperin-si-1974-god-468-.2014](http://med-books.by/.../1828-anatomiya-i-fiziologiya-cheloveka-galperin-si-1974-god-468-.2014);
- [12].  
[https://drive.google.com/file/d/1EKb1xu2Oa8BvDqqJ-rYwyC89sL\\_VhQ7U/view?usp=sharing](https://drive.google.com/file/d/1EKb1xu2Oa8BvDqqJ-rYwyC89sL_VhQ7U/view?usp=sharing),
- Автоссылка: М.В. Кутушов и др., Доминанта ЭПИФИЗА и ФИЗИКА Рака, создан 02.09.2018;
- [13]. К.Гельднер, С.Кубик, Нелинейные Системы Управления, гл.3, стр.160: Пространство состояний 2-х взаимодействующих систем, пер. с немецкого, Москва, МИР, 1987 год;
- [14]. ВОЛНЫ ШУМАНА, <https://sibved.livejournal.com/102974.html> \_2018;
- [15]. Информация и негэнтропия - Билеты по философии  
<https://sites.google.com/site/filosofiaaspirantura/.../15-informacia-i-negentropia>;
- [16]. **Реликтовое излучение — Википедия**  
[https://ru.wikipedia.org/wiki/Реликтовое\\_излучение](https://ru.wikipedia.org/wiki/Реликтовое_излучение), 2018.

1.09.18